

بررسی رهایش داروهای ضد سرطان متotropicسات و ۵-فلوئوروراسیل از ساختار چندلایه نانولیفی پلی کاپرولاکتون: کیتوسان

نازنین پورشریفی^۱، داریوش سمنانی^۱، پرham سلطانی^{۱*} و سعید امانپور^۲

۱- دانشکده مهندسی نساجی، دانشگاه صنعتی اصفهان، ایران، اصفهان ۸۳۱۱۱-۸۴۱۵۶

۲- دانشگاه علوم پزشکی تهران، مرکز تحقیقات سرطان، ایران، تهران ۰۵۳۷۶۱-۱۴۱۷۶

(دریافت مقاله: ۱۳۹۸/۶/۳۱ - دریافت نسخه نهایی: ۱۳۹۸/۲/۱۳)

چکیده- در این پژوهش، ساختارهای هفتلایه نانولیفی از پلیمرهای پلی کاپرولاکتون: کیتوسان حاوی دو داروی ضدسرطان متotropicسات و ۵-فلوئوروراسیل، بهمنظور رهایش کنترل شده دارو، تولید و ارزیابی شد. برای این منظور، لایه‌های دوم، چهارم و ششم حاوی دارو مابین لایه‌های فاقد دارو قرار گرفتند. مورفولوژی سطح و ساختار شیمیایی نانوالیاف فاقد دارو و حاوی دارو به ترتیب به کمک میکروسکوپ الکترونی روبشی و طیف‌سنجی مادون قرمز ارزیابی شد. نرخ رهایش دارو در محلول بافر فسفات سالین ($\text{pH}=7/4$) و غلاظت داروی آزادشده با استفاده از روش اسپکتروفوتومتری محاسبه شد. خواص مکانیکی نمونه‌های تک و چندلایه نیز اندازه‌گیری شد. تصاویر میکروسکوپ الکترونی روبشی تولید الیاف یکنواخت و بدون دانه را نشان داد. طیف مادون قرمز نمونه‌ها حضور دارو در مخلوط پلیمری بدون هیچ نوع برهم‌کنشی را تأیید کرد. نتایج حاکی از آن بود که با افزایش مقدار کیتوسان، ساختاری شکننده تشکیل شده و درصد ازدیاد طول کاهش می‌یابد. رهایش دو داروی متotropicسات و ۵-فلوئوروراسیل در محیط خشی به مدت ۲۶ روز بررسی شد و نتایج بیانگر یک رهایش آرام و پایدار بود.

واژه‌های کلیدی: رهایش دارو، نانوالیاف، پلی کاپرولاکتون، کیتوسان، ۵-فلوئوروراسیل، متotropicسات

Investigating the Release of Methotrexate and 5-Fluorouracil Anticancer Drugs from Multi-Layered Nanofiber Structure of Polycaprolactone/Chitosan

N. Poursharifi¹, D. Semnani¹, P. Soltani^{1*} and S. Amanpour²

1- Department of Textile Engineering, Isfahan University of Technology, Isfahan 84156-83111, Iran.

2- Cancer Biology Research Center, Tehran University of Medical Sciences, Tehran 14176-53761, Iran.

Abstract: In this study, seven-layer nanofiber structures consisting of polycaprolactone/ chitosan polymers loaded with methotrexate and 5-fluorouracil anti-cancer drugs, for controlled drug delivery, were produced and evaluated. For this purpose, the second, fourth and sixth layers were loaded with drug and placed between the drug-free layers. The surface morphology of

* : مسئول مکاتبات، پست الکترونیکی: pa.soltani@cc.iut.ac.ir

drug-free and drug-loaded nanofibers was investigated by scanning electron microscopy (SEM) and Fourier transform infrared spectrometry (FTIR) was used to study their chemical structure. The drug release rate in phosphate buffered saline (pH=7.4) and the released drug concentration were measured by spectrophotometry. Mechanical properties of single- and multi-layered samples were also investigated. SEM images showed formation of uniform and beadless fibers. FTIR spectrum confirmed presence of the drugs in the polymer mixture with no interaction. It was found that by increasing the chitosan content, a brittle structure with decreased elongation is formed. The release behavior of methotrexate and 5-Fluorouracil drugs in neutral pH environment for 26 days was evaluated and the results exhibited a slow and sustained release.

Keywords: Drug delivery, Nanofibers, Polycaprolactone, Chitosan, 5-Fluorouracil, Methotrexate.

پلی کاپرولاتون^۲ یک پلی استر آلیاتیک خطی است که زیست سازگاری، زیست تخریب پذیری، غیرسمی بودن، خواص مکانیکی مطلوب و قیمت پایین از ویژگی های این پلیمر محسوب می شود [۱۰].

امروزه از سامانه های پلیمری حاوی دارو برای رهایش انواع داروها برای بیماری های مختلفی استفاده می شود. یکی از مهم ترین بیماری های غیر واگیر دار سرطان است که سالانه هزینه های سنگینی را به جامعه تحمیل می کند. روش های رایج برای درمان سرطان شامل جراحی، شیمی درمانی و پرتو درمانی است که با توجه به سطح پیشرفت بیماری ترکیب دو یا چند روش درمانی برای بهترین نتیجه توصیه می شود [۱۱]. برای درمان سرطان به روش شیمی درمانی از داروها های مختلف از اگزالی پلاتین^۳، ۵-فلوئوروراسیل^۴، متتروکسات^۵ و پاکلیتاكسل^۶ استفاده می شود. داروی ۵-فلوئوروراسیل با نام تجاری آدروسیل متعلق به گروهی از داروها های شناخته شده به عنوان آنتی بیوتیک ها است و جزء اولین داروهای ضد سرطان به شمار می آید. این دارو دارای خصوصیات آبدوستی است و همانند بسیاری از داروهای ضد ویروسی، اغلب به صورت وریدی تزریق می شود. سرطان سینه، معده، پانکراس و روده بزرگ از جمله سرطان هایی هستند که با این دارو درمان می شوند. با این حال رسیدن غلظت دارو به بیشینه مقدار در روده به دلیل نیمه عمر کوتاه این دارو (۱۰ تا ۲۵ دقیقه) بسیار دشوار است [۱۲]. متتروکسات با نام تجاری ترکسال^۷ یکی دیگر از داروهای ضد سرطان است که با رشد سلول های خاصی از بدن مانند سلول های سرطانی که در بدن تداخل ایجاد می کنند، مبارزه می کند. حلالیت پایین، نیمه عمر کوتاه در جریان

۱- مقدمه

سامانه رهایش دارو، فرمولاسیون و ابزاری است که توانایی کنترل نرخ، زمان و محل رهایش دارو را داشته باشد [۱]. این سامانه یکی از حوزه هایی است که برای کمک به سلامتی انسان به سرعت در حال پیشرفت است. در این روش با قراردادن مستقیم دارو در محل آسیب دیده، عوارض جانبی و مقدار داروی مصرفی کاهش می یابد. برای رهایش دارو می توان از حامل های مختلفی همچون نانوذرات [۲]، میسل [۳]، دندریمر [۴]، لیپوزوم [۵]، هیدروژل [۶] و نانو الیاف [۷] برای بارگذاری دارو استفاده کرد. در این میان ساختارهای نانولیفی به دلیل داشتن خصوصیاتی از قبیل سطح مخصوص بالا، متخالخل بودن و انعطاف پذیری دارای کاربرد بیشتری هستند. در میان کلیه روش های تولید نانو الیاف، روش الکترو ریسی به دلیل کنترل قطر نانو الیاف، مورفولوژی و تخلخل لایه نانولیفی نسبت به روش های دیگر ارجح است [۸].

پلیمرهای طبیعی و مصنوعی فراوانی در زمینه پژوهشی از جمله رهایش دارو کاربرد دارند. در میان پلیمرهای طبیعی کیتوسان^۱ مشتقی از گلوکان با واحدهای تکرار شونده کیتین، دارای ساختار طبیعی شبیه سلولز است و پس از سلولز فراوان ترین پلیمر موجود در طبیعت به شمار می آید. منابع عمده تولید کیتوسان دیواره سلولی قارچ ها و پوست خارجی سخت پوستان، بی مهرگان دریایی، باکتری ها، گیاهان، جلبک ها، ساختار نرم تنان، مخمرها و حشرات است. کیتوسان دارای خواصی همچون زیست سازگاری، ضد بакتری، ضد ویروس، غیرسمی بودن، عدم ایجاد حساسیت و قابلیت تشکیل فیلم است [۹]. همچنین در میان پلیمرهای مصنوعی،

افزایش ضخامت لایه مانع، میزان رهایش تهاجمی اولیه در طول پنج ساعت نخست کاهش می‌یافتد؛ زیرا این لایه، مانع از حرکت و خروج سریع مولکول‌های دارو به‌سمت بیرون می‌شد. در سال ۲۰۱۸ میلادی، اکودا و همکاران [۱۸] با استفاده از روش الکترورسی پی‌درپی یک ساختار نانولیفی چهارلایه زیست‌تخریب‌پذیر حاوی دو داروی متفاوت را برای رهایش زمان‌بندی شده تولید کردند. در ساختار تولیدشده لایه‌های اول و سوم به‌عنوان لایه‌های حاوی دارو، لایه دوم به‌عنوان لایه مانع و لایه چهارم به‌عنوان لایه پایه در نظر گرفته شد. سرعت و مدت زمان رهایش دارو با تعییر عوامل ساختاری لایه همچون قطر الیاف و ضخامت لایه پلیمری کنترل شد. همچنین مدت زمان رهایش داروی دوم با طراحی مناسب ضخامت لایه مانع قابل کنترل است. با این حال، همان‌گونه که تحقیقات فرق نشان داد آزادسازی دارو در مدت زمان‌های کوتاهی صورت گرفته و در ساختارهایی با تعداد سه لایه میزان رهایش تهاجمی اولیه همچنان زیاد است. در این مطالعه به‌منظور جلوگیری از رهایش تهاجمی، کنترل نرخ و مدت زمان رهایش از ساختارهای هفت‌لایه نانولیفی متشکل از ترکیب دو پلیمر زیست‌سازگار و زیست‌تخریب‌پذیر پلی‌کاپرولاتون و کیتوسان استفاده شد. ترکیب دو پلیمر طبیعی و مصنوعی امکان بهره‌مندی از خواص منحصر به‌فرد هریک از دو پلیمر در ساختار نهایی را فراهم خواهد کرد. در این ساختار، سه لایه حاوی دارو است و دو لایه مابین لایه‌های حاوی دارو به‌عنوان لایه مانع عمل می‌کنند. لایه‌های ابتدایی و انتهایی نقش آب‌بند کردن ساختار را بر عهده دارند. به این منظور از داروی ضدسرطان ۵-فلوئوروراسیل و متوتروکسات برای بارگذاری در نانولیاف و بررسی نرخ رهایش استفاده شد. علت استفاده از چنین ساختار ساندویچی، محبوس کردن دو داروی متداول برای درمان سرطان، طولانی‌تر کردن بازه زمانی رهایش و کاهش رهایش تهاجمی اولیه است. همچنین انتظار می‌رود دارویی که در وسط این ساختار ساندویچی بارگذاری شده رهایش تأخیری نسبت به داروی دیگر داشته باشد. بدین معنا که پس از گذشت یک بازه زمانی از رهایش داروی بارگذاری شده در لایه‌های بیرونی، داروی میانی آزاد شود.

خون، انتشار سریع در داخل بدن و مقاومت دارویی توسط سلول‌های هدف از جمله مواردی است که شاخص درمانی این دارو را کاهش می‌دهند. متوتروکسات با عوارض جانبی متعدد و در برخی موارد تهدیدکننده حیات همراه است. عوارض گوارشی به‌طور شایع با متوتروکسات اتفاق می‌افتد و سمیت کلیوی ناشی از رسوب دارو ممکن است اتفاق بیفتد [۱۳].

تاکنون محققین متعددی از دو داروی متوتروکسات و ۵-فلوئوروراسیل در حامل‌های متفاوت به‌منظور درمان سرطان استفاده کردند. در سال ۲۰۱۵ میلادی، صدر ارحامی و همکاران [۱۴] ترکیب نانولیفی پلی‌اکریلونیتریل و آگار حاوی متوتروکسات را به‌منظور کنترل رهایش دارو برای درمان سرطان تهیه کردند. نتایج حاصل از بررسی پروفایل رهایش دارو حاکی از آن بود که با افزایش درصد پلیمر آگار درصد دارو، نرخ رهایش افزایش می‌یابد و افزایش درصد پلیمر آگار به‌دلیل آبدوستی منجر به افزایش نرخ رهایش می‌شود. آنها بیان کردند که افزایش خاصیت آبدوستی منجر به تخریب سریع تر و آزاد شدن دارو با سرعت بالاتر می‌شود. در سال ۲۰۱۳ میلادی، گوپتا و همکاران [۱۵] با استفاده از روش الکترورسی سامانه نانولیفی هیبریدی پلی‌کاپرولاتون و پلی‌لکتید اسید حاوی داروی ۵-فلوئوروراسیل را تولید کردند. نتایج حاصل از بررسی پروفایل رهایش نشان داد که ساختار نانولیفی هیبریدی در مقایسه با ساختار نانولیفی خالص هریک از پلیمرهای رهایش سریع‌تری داشته و توансه برای مدت هشت روز دارو را به صورت تدریجی آزاد کند.

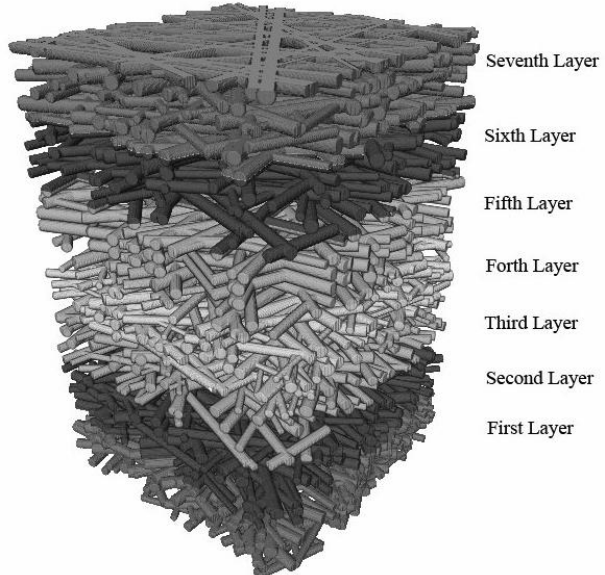
در دهه اخیر استفاده از سامانه‌های رهایش دارو با ساختار ساندویچی یا چندلایه توجه بسیاری از محققین را به‌خود جلب کرده است. ساختار چندلایه به‌علت محبوس کردن چند دارو و همچنین طولانی‌تر کردن مدت رهایش، می‌تواند نقش بسزایی در رهایش کنترل شده ایفا کند [۱۶-۱۸]. در سال ۲۰۱۷ میلادی، لاما و همکاران [۱۷] از ساختار سه‌لایه ژلاتین برای دستیابی به رهایش کنترل شده و طولانی‌مدت داروی آبگریز پاپیرین^۱ استفاده کردند. از پلیمر ژلاتین برای تولید هر سه‌لایه استفاده شد. لایه میانی حاوی درصدهای متفاوتی از دارو بود و دو لایه مجاور در نقش مانع عمل می‌کردند. بررسی پروفایل رهایش حاکی از آن بود که با

جدول ۱- مشخصات نمونه‌های نانولیفی هفت‌لایه فاقد دارو

نمونه فاقد دارو	لایه اول (PCL:CS)	لایه دوم (PCL:CS)	لایه سوم (PCL)	لایه چهارم (PCL:CS)	لایه پنجم (PCL)	لایه ششم (PCL:CS)	لایه هفتم (PCL:CS)
S ₁	۱:۲	۱:۱	۱۲ درصد	۱:۲	۱۲ درصد	۱:۱	۱:۲
S ₂	۱:۲	۱:۲	۱۲ درصد	۱:۱	۱۲ درصد	۱:۲	۱:۱

به مدت دو ساعت روی همزن مغناطیسی قرار داده شد. از اسید استیک و اسید فرمیک با نسبت ترکیب (۷:۳) به عنوان حلال استفاده شد. درنهایت محلول‌ها با نسبت (کیتوسان: پلی‌کاپرولاکتون) ۱:۱ و ۱:۲ به صورت حجمی/ حجمی با یکدیگر ترکیب شدند. به منظور همگن‌سازی محلول‌ها برای انجام فرایند الکتروریسی، محلول‌های تهیه شده به مدت ۳۰ دقیقه روی استیرر با یکدیگر مخلوط شدند. مشخصات دو نمونه تولیدشده در جدول (۱) گزارش شده است. برای الکتروریسی هریک از لایه‌ها، ولتاژ ۱۵ کیلوولت، نرخ تغذیه ۰/۰۸ میلی‌لیتر بر ساعت و فاصله ۱۵ سانتی‌متر روی دستگاه تنظیم شد. برای تولید ساختار هفت‌لایه مطابق شکل (۱) جنس گرفته شد. این مشخصات برای لایه چهارم در نمونه S₁ و S₂ به ترتیب ۱:۲ و ۱:۱ از کیتوسان: پلی‌کاپرولاکتون است. شکل نمادین ساختار نانولیفی در شکل (۱) نشان داده شده است.

۳-۲- تهیه نمونه‌های نانولیفی حاوی دارو
مخلوط کردن دارو با محلول پلیمری یک روش رایج ذخیره‌سازی دارو در نانوالیاف الکتروریسی شده است. برای تولید نمونه‌های حاوی دارو لایه‌های دوم، چهارم و ششم برای بارگذاری دارو انتخاب شد. همچنین در فاصله بین لایه‌های حاوی دارو (لایه‌های سوم و پنجم) به منظور ایجاد مانع و طولانی‌تر کردن مدت زمان رهایش، یک لایه نانولیفی از جنس پلی‌کاپرولاکتون با غلظت ۱۲ درصد وزنی/ وزنی با شرایط ریستندگی ذکر شده به عنوان لایه مانع الکتروریسی شد. همچنین



شکل ۱- نمادین ساختار نمونه‌های هفت‌لایه

۲- مواد و روش تحقیق

۲-۱- مواد

کیتوسان با وزن مولکولی متوسط و پلی‌کاپرولاکتون و متواترکسات به ترتیب با وزن مولکولی ۸۰۰۰۰ و ۴۵۴/۴۴ دالتون از شرکت سیگما خریداری شد. ۵-فلوئوروراسیل با وزن مولکولی ۹۸-۱۰۰ دالتون و اسید فرمیک و اسید استیک با خلوص ۹۸-۱۳۰/۰۸ درصد از شرکت مرک تهیه شد. همچنین محلول فسفات بافر سالین^۹ (pH=۷/۴) از شرکت سیتومنین ژن تأمین شد.

۲-۲- تهیه نمونه‌های نانولیفی فاقد دارو

به منظور تولید نانوالیاف بدون دانه پلی‌کاپرولاکتون/کیتوسان، ابتدا محلول‌های پلیمری پلی‌کاپرولاکتون و کیتوسان به صورت مجزا و به ترتیب با غلظت ۱۲ و دو درصد وزنی/ وزنی تهیه و

جدول ۲- مشخصات نمونه‌های نانولیفی هفت‌لایه حاوی دارو

نمونه حاوی دارو	لایه اول (PCL:CS)	لایه دوم (PCL:CS)	لایه سوم (PCL)	لایه چهارم (PCL:CS)	لایه پنجم (PCL)	لایه ششم (PCL:CS)	لایه هفتم (PCL:CS)
Sd ₁	۱:۲ (MTX)	۱:۱ درصد	۱:۲ (5FU)	۱:۲ درصد	۱:۱ (MTX)	۱:۱ (MTX)	۱:۱ (5FU)
Sd ₂	۱:۲ (5FU)	۱:۲ درصد	۱:۱ (MTX)	۱:۲ درصد	۱:۲ (5FU)	۱:۲ (MTX)	۱:۲ (5FU)

ساختار هفت‌لایه در راستای ضخامت، پس از مقطع زنی با نیتروژن مایع تصویربرداری از سطح مقطع عرضی انجام گرفت. به‌منظور اندازه‌گیری قطر نانوالیاف از نرم‌افزار دیجی‌مایزر استفاده شد. طیف مادون قرمز با تبدیل فوریه^{۱۱} تمامی نمونه‌ها (پلیمرها، داروها و ترکیب دارو با پلیمر) در محدوده ۴۰۰۰-۴۰۰ برعاندی متر) با دستگاه طیف‌سنجی مادون قرمز با تبدیل فوریه (FTIR) (BOMEM-MB100) تهیه شد. همچنین استحکام کششی ساختارهای نانولیفی در راستای طولی به‌اعداد ۵×۲۰ میلی‌متر با نیروی ۲۰ نیوتن و سرعت ۱۰ میلی‌متر بر دقیقه با استفاده از دستگاه ZWICK 1446-60 مورد آزمایش قرار گرفت. به‌منظور تعیین پروفایل رهایش دارو، پس از قرارگیری نمونه‌های حاوی دارو در غشای دیالیز حاوی ۱۰ میلی‌لیتر فسفات بافر سالین درب آنها با پارافیلم بسته شد و سپس در ظرف‌های حاوی ۴۰ میلی‌لیتر محلول فسفات بافر سالین (pH=۷/۴) قرار داده شد. درنهایت رهایش دارو با Shimadzu, UV mini استفاده از دستگاه اسپیکتروفوتومتر^{۱۲} (۱۲۴۰-۱۲۰۰) اندازه‌گیری شد. به‌منظور محاسبه غلظت داروی آزادشده پس از رسم منحنی‌های کالیبراسیون برای هر یک از داروها با استفاده از رابطه (۱)، در بازه‌های زمانی مختلف تا ۲۶ روز پروفایل رهایش دارو مورد بررسی قرار گرفت:

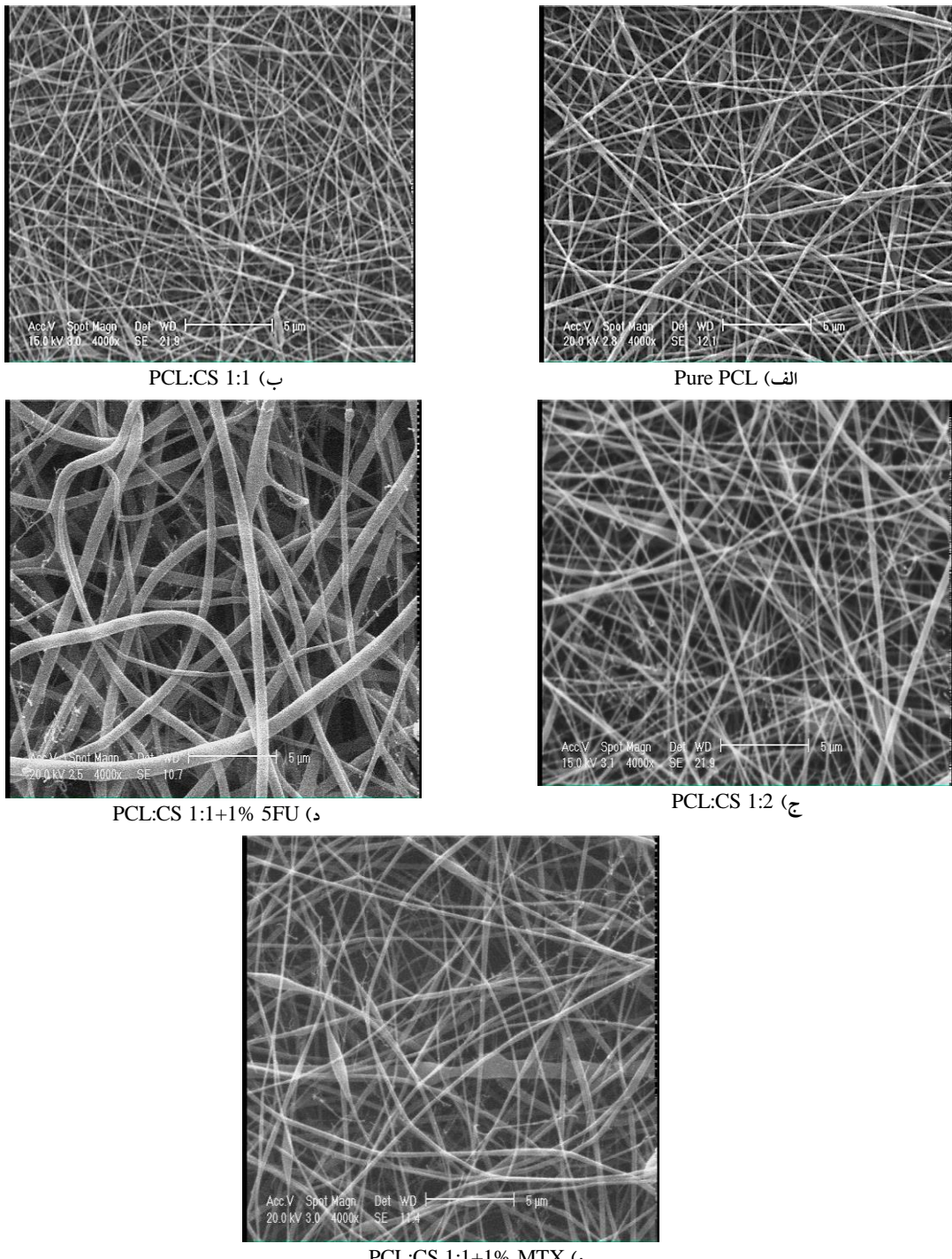
$$A = \frac{A}{B \times C \times D} \times 100$$

در این رابطه A مقدار داروی آزادشده در محیط رهایش بر حسب گرم، B درصد بارگذاری دارو، C درصد داروی اضافه شده و D وزن اولیه سامانه نانولیفی بر حسب گرم است.

لایه اول و هفتم به‌منظور آببندی ساختار حاوی دارو الکتروزیسی شدند. دارو در هر کدام از لایه‌ها به میزان یک درصد نسبت به وزن پلیمر بارگذاری شد. در نمونه Sd₁ داروی متواترکسات در لایه‌های دوم و ششم و داروی ۵-فلوئوروراسیل در لایه چهارم قرار گرفت. همچنین در نمونه Sd₂ داروی ۵-فلوئوروراسیل در لایه‌های دوم و ششم و داروی متواترکسات در لایه چهارم ذخیره شد. برای به‌دست آوردن نتیجه مطلوب در رهایش دارو، خواص شیمی‌فیزیکی پلیمرها و اثر متقابل آنها با مولکول دارو باید در نظر گرفته شود. به عبارت دیگر خواص آبدوستی و آبگریزی دارو و پلیمر می‌بایست هماهنگ باشد، به‌نحوی که داروهای آبدوست با پلیمرهای آبدوست و داروهای چربی‌دوست با پلیمرهای چربی‌دوست به‌منظور بارگذاری کامل دارو در پلیمر ترکیب شوند [۱۹]. لازم به‌ذکر است که داروی متواترکسات و ۵-فلوئوروراسیل به ترتیب داروی آبگریز و آبدوست هستند. به‌همین دلیل داروی متواترکسات در لایه با نسبت ترکیب ۱:۱ به‌علت دارا بودن درصد بیشتری از پلی‌کاپرولاکون (پلیمر آبگریز) و داروی ۵-فلوئوروراسیل در لایه با نسبت ترکیب ۱:۲ به‌علت بالا بودن درصد کیتوسان (پلیمر آبدوست) قرار گرفت. جدول (۲) مشخصات دو نمونه تولیدشده حاوی دارو را نشان می‌دهد.

۴-۲- اندازه‌گیری‌ها

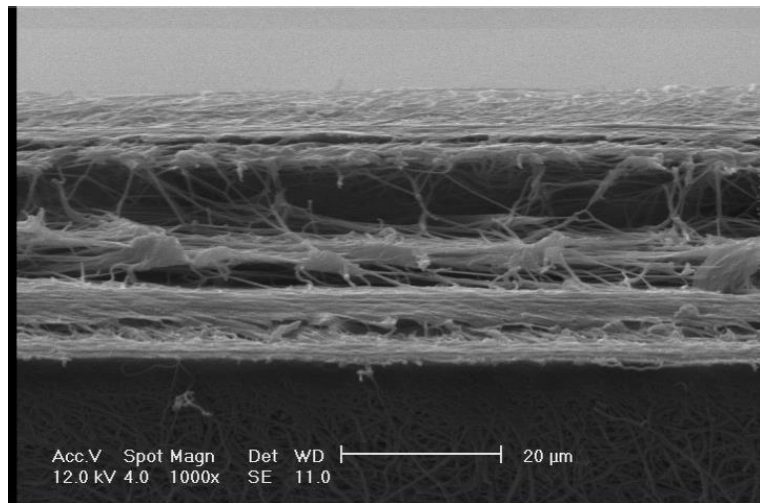
تصاویر میکروسکوپی الکترونی روبشی^{۱۰} با استفاده از دستگاه (SEM, HITACHI S-4160) تهیه شد. برای بررسی مورفولوژی سطحی نمونه‌های هفت‌لایه، از هر لایه به صورت جداگانه تصویربرداری صورت گرفت. همچنین برای بررسی



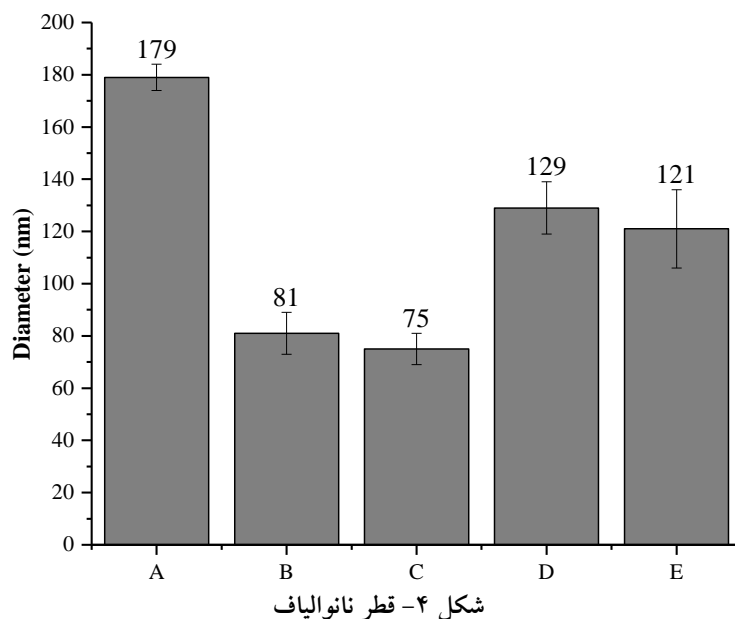
شکل ۲- تصاویر میکروسکوپی الکترونی روبشی نمونه های تک لایه نانولیفی: (الف) Pure PCL، (ب) PCL:CS 1:1، (ج) PCL:CS 1:2، (د) PCL:CS 1:1+1% 5FU، (ه) PCL:CS 1:1+1% MTX

دارو و همچنین سطح مقطع عرضی ساختار هفت لایه تصاویر میکروسکوپی الکترونی روبشی تهیه شد. تصاویر در شکل های ۲ و ۳ قابل مشاهده است. همچنین نتایج اندازه گیری قطر

۳- بحث و نتایج
۳-۱- بررسی مورفولوژی نانوالیاف
برای بررسی مورفولوژی نانوالیاف فاقد دارو، نانوالیاف حاوی



شکل ۳- تصویر سطح مقطع عرضی نمونه نanolیفی هفتلايه

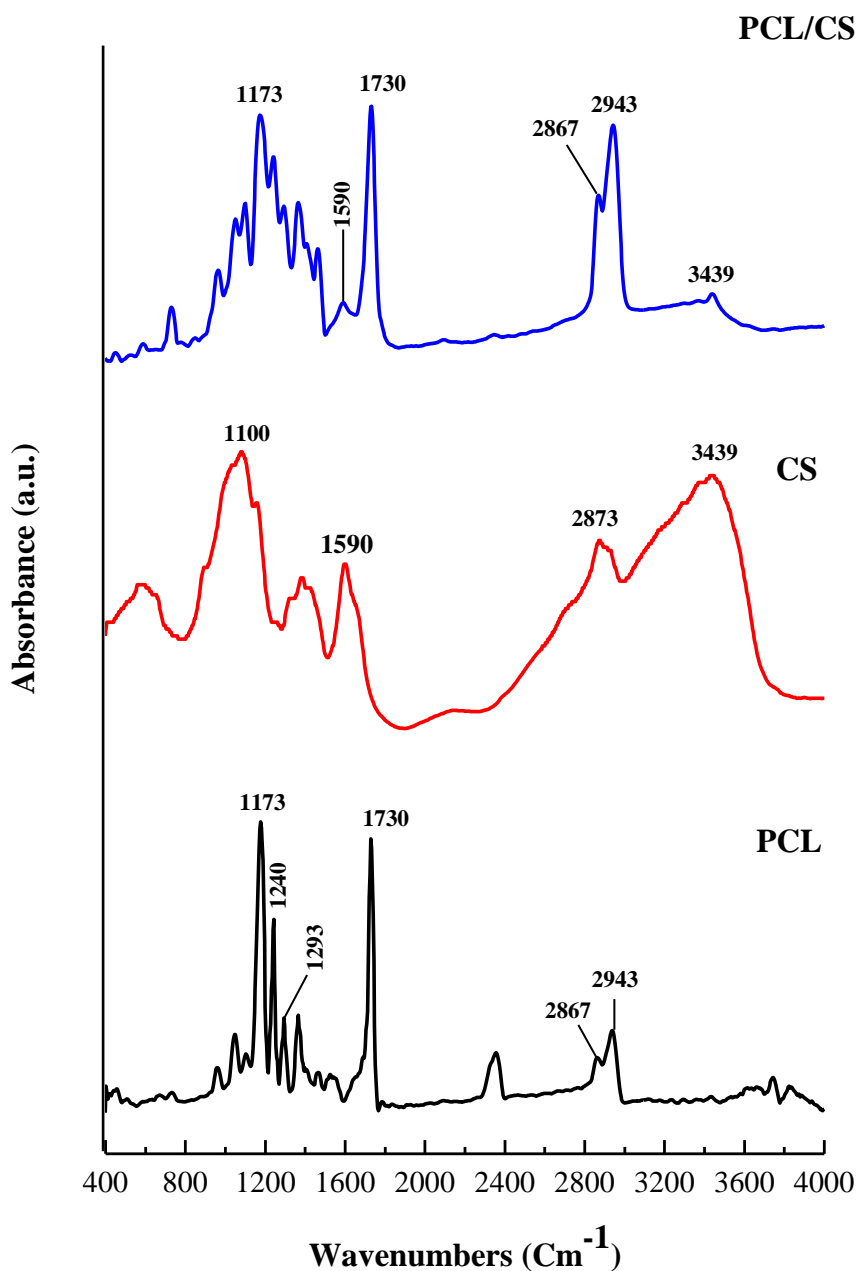


شکل ۴- قطر نانوالیاف

افزایش گرانزوی محلول، برای حصول نانوالیاف با قطر کمتر باید شرایط الکتروریسی به گونه‌ای باشد که جت پلیمری در میدان بیشتر مورد کشش قرار داده شود؛ اما از آنجایی که همه شرایط الکتروریسی ثابت است و فقط گرانزوی افزایش پیدا کرده است، قطر الیاف افزایش می‌یابد.

۲-۳- بررسی طیف مادون قرمز
در شکل (۵) طیف مادون قرمز پلی‌کاپرولاتکتون، کیتوسان و ترکیب پلی‌کاپرولاتکتون: کیتوسان قابل مشاهده است. در طیف

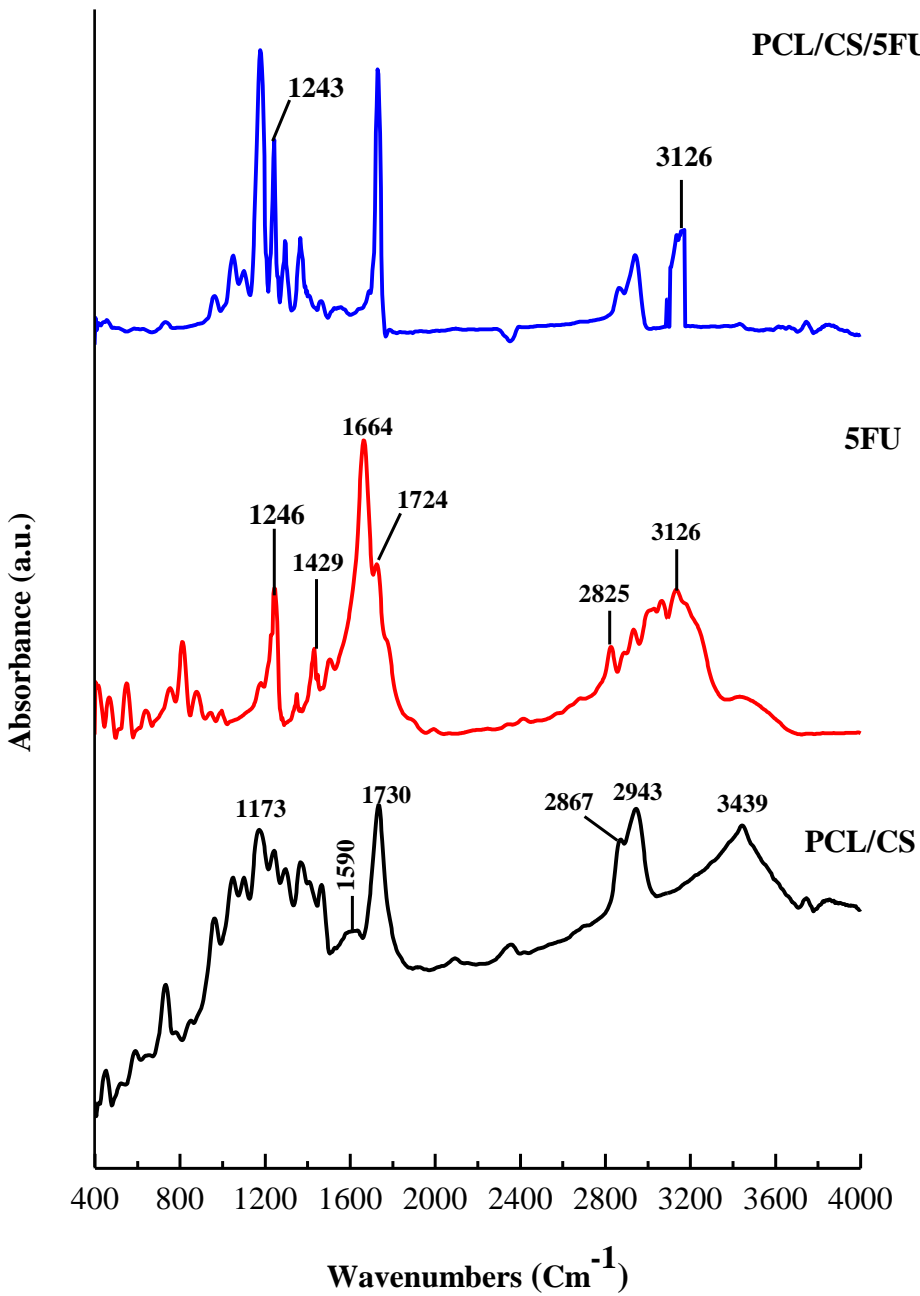
الیاف در شکل (۴) گزارش شده است. همان‌گونه که در شکل‌های (۲ و ۴) مشاهده می‌شود، با افزایش درصد کیتوسان قطر الیاف کاهش می‌یابد. با افزایش درصد این پلیمر در محلول، هدایت الکتریکی افزایش پیدا کرده و درنتیجه بار الکتریکی در سطح جت پلیمری افزایش می‌یابد. بنابراین الیاف در میدان الکتریکی کشش پیشتری متوجه قدرت افزایش می‌شوند و درنتیجه قطر الیاف کاهش می‌یابد [۲۰]. نتایج نشان می‌دهند که در نمونه‌های پلی‌کاپرولاتکتون خالص با افزایش غلظت محلول، قطر الیاف افزایش می‌یابد که به دلیل افزایش گرانزوی محلول در اثر افزایش غلظت محلول است. با



شکل ۵- طیف مادون قرمز پلی کاپرولاکتون، کیتوسان و پلی کاپرولاکتون: کیتوسان

C-O است که با پیوند دو گانه C=O در گروه عاملی استری متصل شده است. در طیف مربوط به پلیمر کیتوسان، پیک قوی وسیع ۳۴۳۹ بر سانتی متر مربوط به ارتعاشات کششی پیوند O-H است. پیک ۱۵۹۰ بر سانتی متر به ارتعاش خمی گروه N-H نامید نوع دوم اشاره دارد. پیک در عدد موجی ۲۸۷۳ بر سانتی متر مربوط به کشش C-H و پیک موجود در ناحیه ۱۱۰۰ بر سانتی متر مربوط به کشش گروههای C-N و

پلی کاپرولاکتون عدد موجی ۱۷۳۰ بر سانتی متر مربوط به پیوند قوی گروه کربونیل (C=O) است. باند کششی نامتقارن و نامتقارن گروه CH₂ به ترتیب در عدد موجی های ۲۸۶۷ و ۲۹۴۳ بر سانتی متر فرار گرفته اند. پیک در عدد موجی ۱۲۹۳ بر سانتی متر مربوط به کشش نامتقارن C-C است. کشش نامتقارن C-O-C در عدد موجی ۱۲۴۰ بر سانتی متر ظاهر شده است. همچنین پیک ظاهر شده در عدد موجی ۱۱۷۳ بر سانتی متر مربوط به پیوند یگانه



شکل ۶- طیف مادون قرمز پلی کاپرولاتکتون: کیتوسان/ ۵- فلوئوروراسیل

گروه عاملی استر موجود در پلی کاپرولاتکتون دارد همچنین پیک موجود در ناحیه ۲۹۴۳ و ۲۸۶۷ بر سانتی متر مربوط به کشش متقارن و نامتقارن گروه CH_2 است [۲۱ و ۲۲]. همچنین طیف مربوط به ترکیب این دو پلیمر هیچ برهمکنشی را نشان نمی دهد. شکل (۶) طیف مادون قرمز داروی ۵- فلوئوروراسیل و ترکیب این دارو با دو پلیمر پلی کاپرولاتکتون و کیتوسان را

C-O است. در طیف مربوط به ترکیب پلیمرهای کیتوسان و پلی کاپرولاتکتون، پیک موجود در عدهای موجی ۳۴۳۹ و ۱۵۹۰ بر سانتی متر نشان دهنده حضور گروه N-H است که تأیید کننده حضور کیتوسان است. همچنین پیک قوی در عدد موجی ۱۷۳۰ بر سانتی متر و پیک متوسط در ناحیه ۱۱۷۳ بر سانتی متر به ترتیب مربوط به پیوند دوگانه C=O و پیوند یگانه C-O است که اشاره به مواد پیشرفتی در مهندسی، سال ۳۸، شماره ۴، زمستان ۱۳۹۸

جدول ۴- استحکام کششی نمونه‌های نانولیفی تک‌لایه و هفت‌لایه

نمونه	تنش (مگاپاسکال)	کرنش (درصد)	مدول (مگاپاسکال)
A	۹/۲۲±۳/۲۱	۱۴۸/۶۸±۱۱/۵۲	۳۰/۷۸±۵/۲۵
B	۶/۱۵±۱/۳۴	۲۶/۵۰±۹/۸۹	۴۴/۶۰±۶/۶۹
C	۶/۲۶±۱/۹۵	۱۶/۱۰±۱۰/۵۵	۵۵/۵۴±۲/۵۱
S ₁	۵/۸۰±۱/۸۵	۳۱/۹۹±۶/۹۵	۲۹/۷۱±۴/۶۳
S ₂	۵/۳۲±۴/۰۱	۳۰/۵۱±۸/۶۶	۳۰/۰۱±۶/۵۲

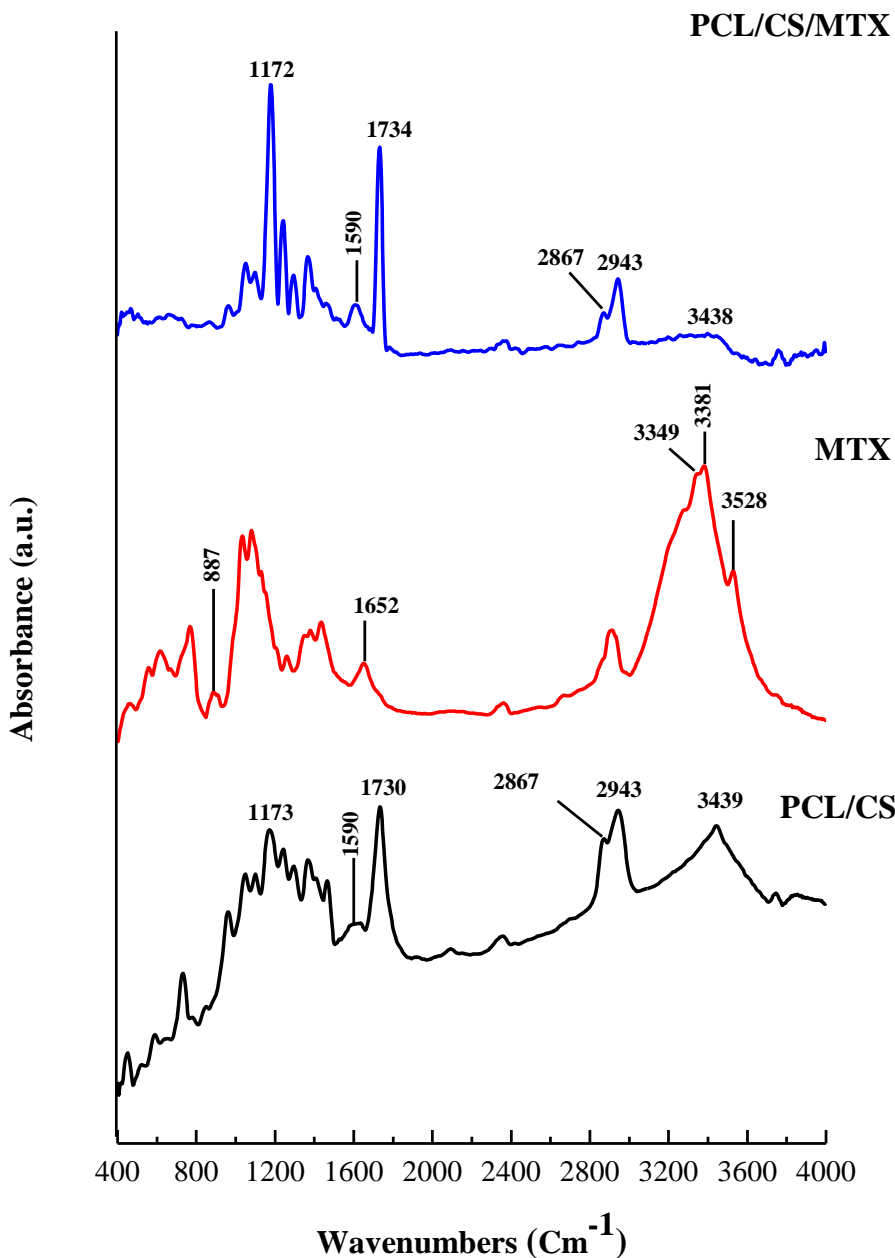
محدوده عدد موجی ۱۲۶۰-۱۰۳۴ بر سانتی‌متر پیک‌های ایجاد کرده است. همچنین پیک موجود در عدد موجی ۳۵۲۸ بر سانتی‌متر مربوط به ارتعاشات کششی و خمثی باند O-H است [۱۴]. در طیف مربوط به دو پلیمر پلی‌کاپرولاتکتون: کیتوسان و داروی متاتروکسات، پیک موجود در عدد موجی ۱۱۷۲ بر سانتی‌متر مربوط به گروه C-O و پیک در عدد موجی ۱۷۳۴ بر سانتی‌متر مربوط به گروه کربونیل است که هر دو اشاره به حضور پلی‌کاپرولاتکتون در نمونه دارند. همچنین کشش متقارن و نامتقارن CH₂ در عده‌های موجی ۲۸۶۷ و ۲۹۴۳ بر سانتی‌متر ظاهر شده است. پیک جذبی در عدد موجی ۳۴۳۸ بر سانتی‌متر مربوط به همپوشانی گروه N-H و O-H است که در کیتوسان و متاتروکسات قرار دارد. علاوه بر این در ناحیه ۱۵۹۰ بر سانتی‌متر پیک جذبی مشاهده شده که مربوط به گروه N-H است و در هر دو ماده کیتوسان و متاتروکسات قرار دارد. به عبارتی حضور داروی متاتروکسات در نمونه فوق اثبات شده و برهم‌کنش و یا شیفت پیک مبنی بر پیوند بین دارو و پلیمرها مشاهده نشد.

۳-۳- بررسی استحکام کششی

ساختارهای نانولیفی برای ارائه عملکرد مناسب خود در طول درمان برای قرارگیری در داخل محیط‌های مهاجم بدن باید دارای استحکام مطلوبی بوده تا دچار فروپاشی نشوند. از این‌رو استحکام کششی نمونه‌های نانولیفی تولیدی مورد بررسی قرار گرفت. داده‌های مربوط به نمونه‌های هفت‌لایه و تک‌لایه در جدول (۴) ارائه شده است. همچنین نمودار تنش-کرنش نمونه‌ها در شکل (۸) قابل مشاهده است. حضور گروه‌های

نشان می‌دهد. طیف مربوط به داروی خالص ۵-فلوئوروراسیل در عده‌های موجی ۱۶۶۴ و ۱۷۲۴ بر سانتی‌متر مربوط به ارتعاش ساختاری و همپوشانی گروه‌های C=O و C-C است. پیوند C-F و C-N که وجه تمایز اصلی دارو با این دو پلیمر است، در عدد موجی ۱۴۲۹ و ۱۲۴۶ بر سانتی‌متر ظاهر شده است. همچنین پیک موجود در عدد موجی ۲۸۲۵ و ۳۱۲۶ بر سانتی‌متر مربوط به حلقه آروماتیک C-H=C و ارتعاش کششی NH₂ است. [۲۳]. در طیف ترکیب داروی ۵-فلوئوروراسیل در نانو الیاف پلی‌کاپرولاتکتون / کیتوسان پیک ظاهر شده در عدد موجی ۱۲۴۳ و ۳۱۳۶ بر سانتی‌متر تأیید کننده حضور دارو در نانو الیاف است. دو پیک قوی در عده‌های موجی ۱۷۲۴ و ۱۱۷۷ بر سانتی‌متر مربوط به گروه C=O و C-O است که نشان‌دهنده گروه عاملی استر و نشان از تأیید حضور پلی‌کاپرولاتکتون در نمونه دارد. همچنین پیک موجود در ناحیه‌های ۲۸۶۵ و ۲۹۴۰ بر سانتی‌متر مربوط به کشش متقارن و نامتقارن گروه CH₂ است. پیک در عدد موجی ۳۴۳۱ بر سانتی‌متر مربوط به کشش N-H است. همچنین پیک جدید و یا شیفت پیک به معنای ایجاد برهم‌کنش بین دارو و پلیمرها مشاهده نشد.

طیف داروی متاتروکسات و نانو الیاف پلی‌کاپرولاتکتون: کیتوسان حاوی داروی متاتروکسات در شکل (۷) قابل مشاهده است. در طیف مربوط به داروی خالص متاتروکسات پیک موجود در ناحیه ۸۸۷ بر سانتی‌متر مربوط به خمث آروماتیک پیوند C-H در حلقه بنزن و پیک موجود در ناحیه ۱۶۵۲ بر سانتی‌متر مربوط به پیک شاخص آمیدی است. جفت پیک آمین در عده‌های موجی ۳۳۸۱ و ۳۳۴۹ بر سانتی‌متر قابل مشاهده است. پیوند C-N در

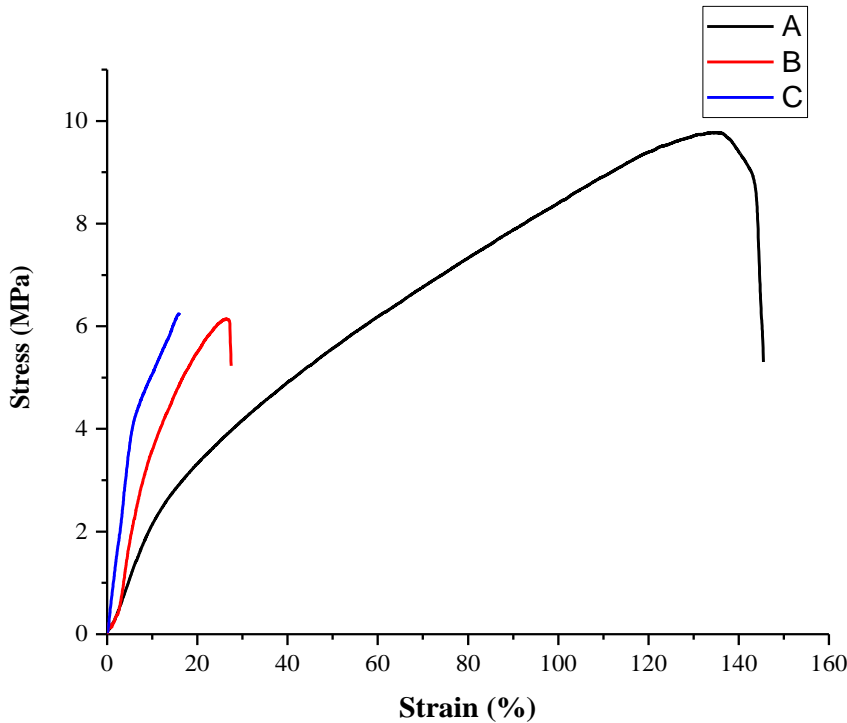


شکل ۷- طیف مادون قرمز پلی کاپرولاتکتون: کیتوسان، متوتروکسات، پلی کاپرولاتکتون: کیتوسان / متوتروکسات

تکلایه، استحکام کششی ساختارهای هفتلایه نیز مورد بررسی قرار گرفتند.

۴-۳- بررسی نرخ رهایش دارو
در این تحقیق برای تعیین غلظت داروی آزاد شده در محیط رهایش در زمان معین، از روش اسپکتروفتوometri جذبی در ناحیه مادون قرمز استفاده شد. لازمه استفاده از این روش وجود رابطه

هیدروکسیل روی زنجیره پلیمری کیتوسان باعث ایجاد پیوند هیدروژنی بین زنجیره‌های پلیمری شده و بهمین دلیل مدول نمونه‌ها افزایش یافته است. همچنین با افزایش درصد کیتوسان، ساختار ترد و شکننده شده که این مسئله باعث کاهش کرنش شده است [۲۴]. هر واحد پلیمر کاپرولاتکتون از پنج گروه متیل تشکیل شده، از این‌رو انعطاف‌پذیری و ازدیاد طول نمونه‌های پلی کاپرولاتکتون خالص بالاتر است [۲۵]. علاوه بر نمونه‌های

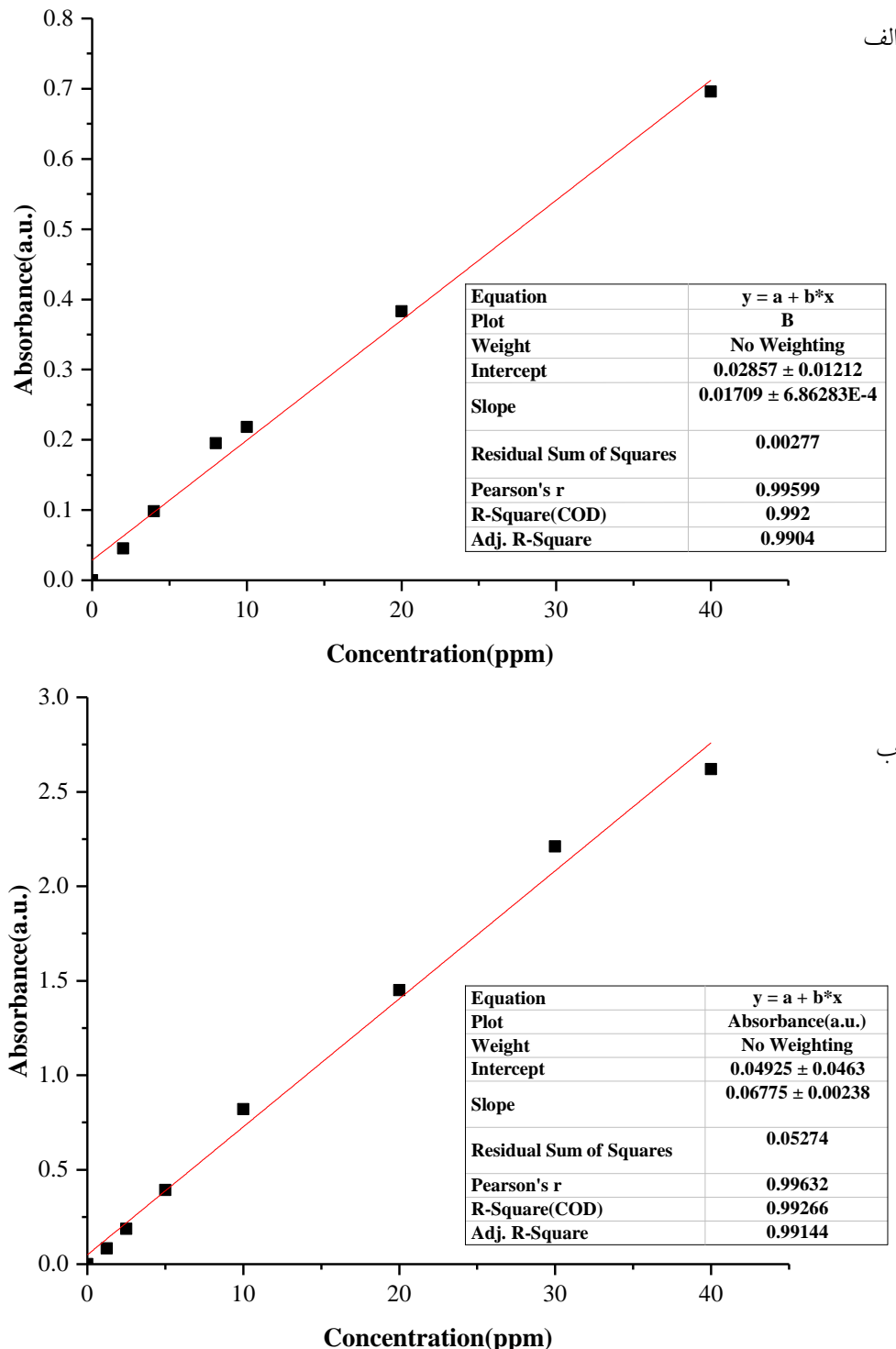


شکل ۸- نمودار تنش - کرنش نمونه‌های نانولیفی (رنگی در نسخه الکترونیکی)

در نمونه Sd_1 ، لایه چهارم و در نمونه Sd_2 ، لایه‌های دوم و ششم حاوی یک درصد داروی ۵-فلوئوروراسیل است. به عبارت دیگر مقدار داروی ۵-فلوئوروراسیل در نمونه Sd_2 دو برابر نمونه Sd_1 است. هدف از قرارگیری این داروها به عنوان داروی خارجی (بارگذاری شده در لایه دوم و ششم) و داروی میانی (بارگذاری شده در لایه چهارم) در نمونه‌های Sd_1 و Sd_2 آزادسازی دارو به صورت زمانبندی شده است. بدین معنا که براساس نوع بیماری و نظر پزشک ابتدا داروی متوتروکسات و یا داروی ۵-فلوئوروراسیل رها شود.

همان طور که در شکل (۱۰-الف) مشاهده می‌شود، میزان رهایش تهاجمی اولیه در دو ساعت اول رهایش، برای نمونه‌های Sd_1 و Sd_2 به ترتیب $۱۲/۵$ درصد و $۷/۲۵$ درصد است. در نمونه Sd_2 با قرارگیری داروی متوتروکسات در لایه میانی (لایه چهارم) میزان رهایش تهاجمی اولیه کاهش پیدا کرده که این امر می‌تواند به علت حضور لایه‌های مانع باشد. همچنین پس از ۶۲۴ ساعت مقدار رهایش برای نمونه‌های Sd_1 و Sd_2 به ترتیب برابر $۲۴/۹۵$ درصد و $۲۰/۹۹$ درصد است.

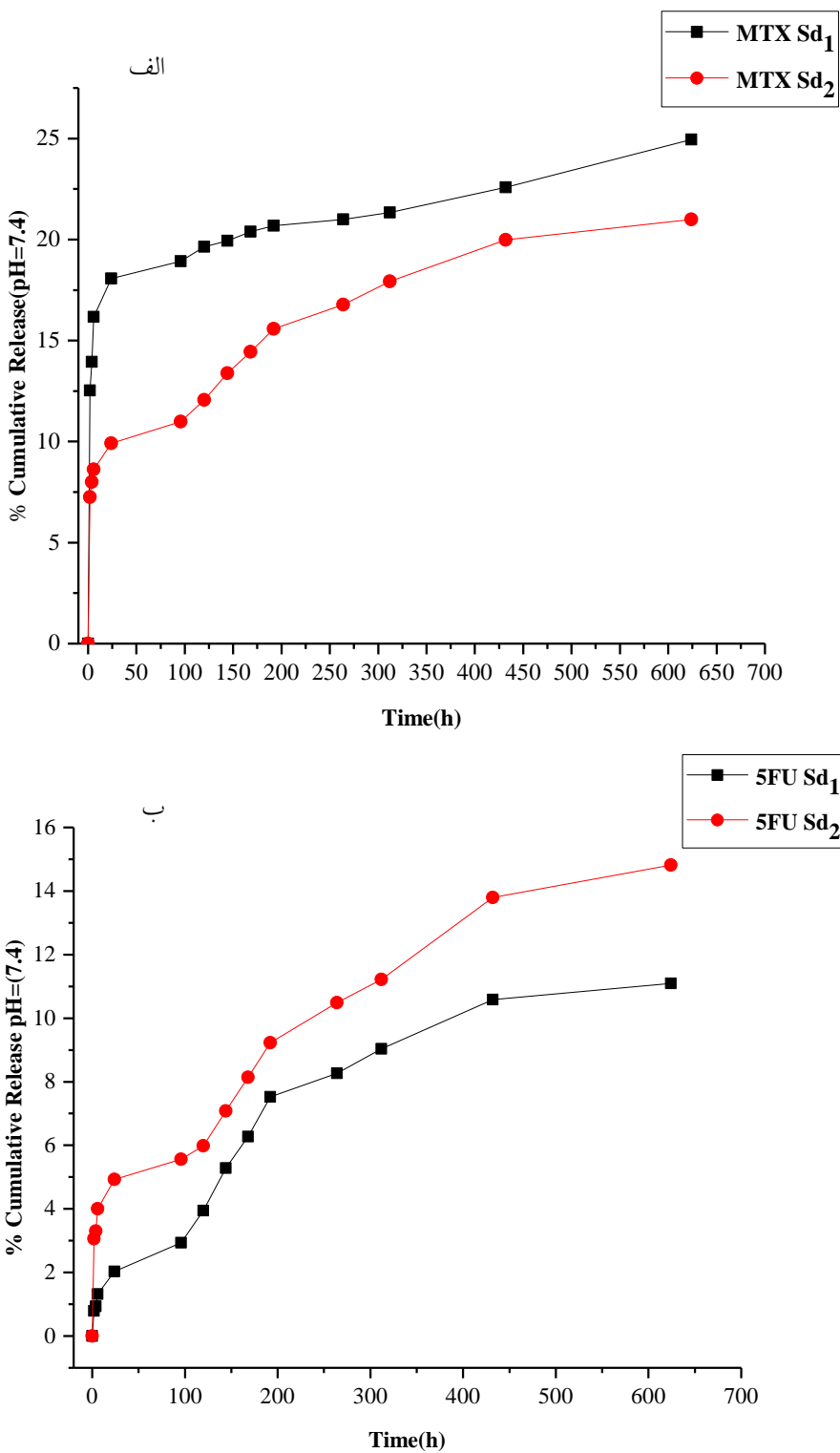
خطی بین غلظت ماده و جذب است. به عبارتی در اسپکتروفوتومتری، مقدار نور جذب شده توسط محلول، تابع قانون بیر-لامبرت است. بعد از تشخیص طول موج بیشینه هر کدام از داروها در محلول فسفات بافر سالین، میزان جذب در محدوده طول موج $۲۰۰-۴۰۰$ نانومتر مشخص شد. درنهایت نمودار غلظت محلول‌ها بر حسب میزان جذب در طول موج بیشینه رسم شد. طول موج بیشینه در محلول فسفات بافر سالین برای داروی متوتروکسات ۲۴۹ نانومتر و برای داروی ۵-فلوئوروراسیل ۲۶۶ نانومتر است. شکل‌های (۹-الف و ۹-ب) به ترتیب نشان‌دهنده منحنی‌های کالیبراسیون برای داروی ۵-فلوئوروراسیل و متوتروکسات است. همچنین در شکل‌های (۱۰-الف و ۱۰-ب) پروفایل رهایش داروی متوتروکسات و داروی ۵-فلوئوروراسیل برای دو نمونه حاوی دارو در محیط خشی ($pH=7/4$) قابل مشاهده است. در نمونه Sd_1 لایه چهارم حاوی یک درصد داروی متوتروکسات است. به عبارت دیگر مقدار داروی متوتروکسات در نمونه Sd_1 دو برابر نمونه Sd_2 است. همچنین



شکل ۹- منحنی کالیبراسیون در محیط خنثی: (الف) متاتروکسات و (ب) ۵- فلوئوروراسیل

رهایش تهاجمی اولیه را کنترل کنند. شکل (۱۰-ب) نشان‌دهنده پروفایل رهایش داروی ۵-فلوئوروراسیل موجود در نمونه‌های Sd_1 و Sd_2 در محیط خنثی است. همان‌گونه که

به عبارتی ساختار چندلایه باعث کاهش رهایش تهاجمی اولیه و طولانی‌تر شدن بازه زمانی رهایش دارو شده است. لaha و همکاران [۱۷] نیز با تولید ساختار چندلایه ژلاتین توانستند



شکل ۱۰- پروفایل رهایش داروی: (الف) متوتروکسات و (ب) ۵-فلوئوروراسیل

مشاهده می شود، میزان رهایش اولیه پس از گذشت ۶۲۴ ساعت میزان رهایش درصد است. همچنین پس از گذشت دو ساعت به ترتیب ۱۱/۰۹ و ۱۴/۸ درصد

درصد ای سد₁ و سد₂ به ترتیب ۰/۷۹ و ۳/۰۵ درصد

روی سایر بافت‌های بدن به حداقل میزان خود می‌رسد. گفتنی است که آزادسازی دو داروی ضدسرطان به صورت همزمان در داخل محیط می‌تواند فرایند بهبود را تسریع بخشد.

۴- نتیجه‌گیری

در این تحقیق، از ترکیب دو پلیمر طبیعی (کیتوسان) و مصنوعی (پلی‌کاپرولاتون) برای رهایش دو داروی ضدسرطان استفاده شد.

۱- نتایج حاصل از تصاویر میکروسکوپی الکترونی روبشی حاکی از آن بود که با افزایش درصد کیتوسان به محلول پلیمری قطر الیاف کاهش می‌یابد.

۲- بررسی طیف مادون قرمز نمونه فاقد دارو و نمونه حاوی دارو نشان‌دهنده حضور دو دارو در داخل نمونه‌ها بدون برهمنکش این مواد با یکدیگر است.

۳- خواص مکانیکی نمونه‌ها نشان داد که با افزایش درصد کیتوسان، ساختار نمونه شکننده شده و کرنش کاهش و مدول افزایش می‌یابد. به علاوه انعطاف‌پذیری و ازدیاد طول نمونه‌های پلی‌کاپرولاتون خالص از همه بیشتر است.

۴- نتایج ارزیابی رهایش دارو حاکی از آن بود که با محبوس کردن دارو در لایه‌های مختلف این ساختار هفت‌لایه، میزان رهایش تهاجمی اولیه بسیار ناچیز بود و همچنین در طول زمان یک رهایش آهسته و پایدار اتفاق می‌افتد. به علاوه آزادسازی دو دارو به صورت همزمان امکان تسریع فرایند درمان را فراهم می‌سازد.

Sd₂ می‌رسد. به عبارتی همانند نتایج گفته شده برای داروی متوتروکسات، با قرارگیری داروی ۵-فلوئوروراسیل در لایه میانی نسبت به لایه‌های خارجی (لایه دوم و ششم) رهایش تهاجمی اولیه کاهش می‌یابد. همان‌طور که در نمودارهای شکل (۱۰) مشخص است، رهایش این دو دارو به علت پدیده انتشار به صورت همزمان صورت می‌گیرد که می‌توان آن را با افزایش ضخامت لایه‌های مانع به صورت زمان‌بندی شده کنترل کرد.

صدر ارحامی و همکاران [۱۴] با بارگذاری داروی متوتروکسات در بستر نانولیفی تکلایه پلی‌اکریلونیتریل / آگار در حالت مخلوط نشان دادند که رهایش تهاجمی اولیه در مدت ۳۰ دقیقه ابتدایی برای نمونه حاوی شش درصد دارو، حدود ۲۰/۰۴ درصد است که با افزایش میزان داروی بارگذاری شده این مقدار افزایش می‌یابد. همچنین بازه زمانی کل برای رهایش داروی متوتروکسات از این لایه نانولیفی که به صورت مخلوط دارو و پلیمر ترکیب شده بود در حدود چهار ساعت است. نتایج مطالعه آکودا و همکاران [۱۸] نشان می‌دهد که مدت زمان رهایش دو داروی بارگذاری شده در ساختار چهارلایه نانولیفی پلی‌(ال-لاکتید-کو-کاپرولاتون) برای هر دو دارو در حدود هشت ساعت است و میزان رهایش اولیه نزدیک به صفر است. از این رو نتایج این مطالعه نشان می‌دهد با بارگذاری داروها در داخل این سامانه نانولیفی، بهدلیل ساختار چندلایه و حضور لایه‌های مانع رهایش تهاجمی اولیه برای هر دو نمونه بسیار ناچیز است که نسبت به ساختارهای تکلایه بسیار بهتر بوده و این ساختار می‌تواند یک رهایش آرام و پایدار در طول بازه زمانی ۲۶ روزه داشته باشد. با کاهش رهایش تهاجمی اولیه، اثرات جانبی منفی

واژه‌نامه

- 1. chitosan (CS)
- 2. polycaprolactone (PCL)
- 3. oxaliplatin
- 4. 5- fluorouracil
- 5. methotrexate
- 6. paclitaxel
- 7. trexall
- 8. piperine
- 9. phosphate buffered saline (PBS)
- 10. scanning electron microscopy (SEM)
- 11. Fourier transform infrared spectrometry (FTIR)
- 12. UV-spectrophotometry

مراجع

1. Brouwers, J., "Advanced and Controlled Drug Delivery Systems in Clinical Disease Management", *Pharmacy World and Science*, Vol. 18, pp. 153-162, 1996.
2. Soppimath, K. S., Aminabhavi, T. M., Kulkarni, A. R., and Rudzinski, W. E., "Biodegradable Polymeric Nanoparticles as Drug Delivery Devices", *Journal of Controlled Release*, Vol. 70, pp. 1-20, 2001.
3. Yoo, H. S., and Park, T. G., "Folate Receptor Targeted Biodegradable Polymeric Doxorubicin Micelles", *Journal of Controlled Release*, Vol. 96, pp. 273-283, 2004.
4. Newkome, G. R., Moorefield, C. N., and Vögtle, F., *Dendrimers and Dendrons: Concepts, Syntheses, Applications*, Wiley-VCH Verlag GmbH, 2001.
5. Zasadzinski, J. A., Wong, B., Forbes, N., Braun, G., and Wu, G., "Novel Methods of Enhanced Retention in and Rapid, Targeted Release from Liposomes", *Current Opinion in Colloid & Interface Science*, Vol. 16, pp. 203-214, 2011.
6. Hoare, T. R., and Kohane, D. S., "Hydrogels in Drug Delivery: Progress and Challenges", *Polymer*, Vol. 49, pp. 1993-2007, 2008.
7. Cui, W., Li, X., Zhu, X., Yu, G., Zhou, S., and Weng, J., "Investigation of Drug Release and Matrix Degradation of Electrospun Poly (DL-lactide) Fibers with Paracetanol Inoculation", *Biomacromolecules*, Vol. 7, pp. 1623-1629, 2006.
8. Kowalewski, T., NSKI, S., and Barral, S., "Experiments and Modelling of Electrospinning Process", *Technical Sciences*, Vol. 53, pp. 385-394, 2005.
9. Shahidi, F., and Abuzaytoun, R., "Chitin, Chitosan, and Co-Products: Chemistry, Production, Applications, and Health Effects", *Advances in Food and Nutrition Research*, Vol. 49, pp. 93-137, 2005.
10. Cipitria, A., Skelton, A., Dargaville, T., Dalton, P., and Hutmacher, D., "Design, Fabrication and Characterization of PCL Electrospun Scaffolds-A Review", *Journal of Materials Chemistry*, Vol. 21, pp. 9419-9453, 2011.
11. Winocur, G., Vardy, J., Binns, M. A., Kerr, L., and Tannock, I., "The Effects of the Anti-Cancer Drugs, Methotrexate and 5-Fluorouracil, on Cognitive Function in Mice", *Pharmacology Biochemistry and Behavior*, Vol. 85, pp. 66-75, 2006.
12. Zhang, N., Yin, Y., Xu, S. -J., and Chen, W. -S., "5-Fluorouracil: Mechanisms of Resistance and Reversal Strategies", *Molecules*, Vol. 13, pp. 1551-1569, 2008.
13. Allen, T. M., and Cullis, P. R., "Drug Delivery Systems: Entering the Mainstream", *Science*, Vol. 303, pp. 1818-1822, 2004.
14. Sadrearhami, Z., Morshed, M., and Varshosaz, J., "Production and evaluation of polyblend of agar and polyacrylonitrile Nanofibers for in Vitro Release of Methotrexate in Cancer Therapy", *Fibers and Polymers*, Vol. 16, pp. 254-262, 2015.
15. Gupta, K. K., Pal, N., Mishra, P. K., Srivastava, P., Mohanty, S., and Maiti, P., "5-Florouracil-Loaded Poly (Lactic Acid)-Poly (Caprolactone) Hybrid Scaffold: Potential Chemotherapeutic Implant", *Journal of Biomedical Materials Research Part A*, Vol. 102, pp. 2600-2612, 2014.
16. Fathi-Azarbajani, A., and Chan, S. Y., "Single and Multi-Layered Nanofibers for Rapid and Controlled Drug Delivery", *Chemical and Pharmaceutical Bulletin*, Vol. 58, pp. 143-146, 2010.
17. Laha, A., Sharma, C. S., and Majumdar, S., "Sustained Drug Release from Multi-Layered Sequentially Crosslinked Electrospun Gelatin Nanofiber Mesh", *Materials Science and Engineering: C*, Vol. 76, pp. 782-786, 2017.
18. Okuda, T., Tominaga, K., and Kidoaki, S., "Time-Programmed Dual Release Formulation by Multilayered Drug-Loaded Nanofiber Meshes", *Journal of Controlled Release*, Vol. 143, pp. 258-264, 2010.
19. Zeng, J., Yang, L., Liang, Q., Zhang, X., Guan, H., Xu, X., Chen, X., and Jing, X., "Influence of the Drug Compatibility with Polymer Solution on the Release Kinetics of Electrospun Fiber Formulation", *Journal of Controlled Release*, Vol. 105, pp. 43-51, 2005.
20. Van der Schueren, L., Steyaert, I., De Schoenmaker, B., and De Clerck, K., "Polycaprolactone/Chitosan Blend Nanofibres Electrospun from an Acetic Acid/Formic Acid Solvent System", *Carbohydrate Polymers*, Vol. 88, pp. 1221-1226, 2012.
21. Semnani, D., Naghashzargar, E., Hadjianfar, M., Dehghan Manshadi, F., Mohammadi, S., Karbasi, S., and Effaty, F., "Evaluation of PCL/Chitosan Electrospun Nanofibers for Liver Tissue Engineering", *International Journal of Polymeric Materials and Polymeric Biomaterials*, Vol. 66, pp. 149-157, 2017.
22. Semnani, D., Nasari, M., and Fakhrali, A., "PCL Nanofibers Loaded with Beta-Carotene: A Novel Treatment for Eczema", *Polymer Bulletin*, Vol. 75, pp. 1-12, 2018.
23. Bi, Y., Cao, X., Liu, M., Meng, X., and Zhai, H., "A Smart Drug Delivery System in Response to Time, pH and Enzyme for Colorectal Cancer Therapy and Its Targeted Release Performance in Vitro", *Materials Letters*, Vol. 137, pp. 354-357, 2014.
24. Hadjianfar, M., Semnani, D., and Varshosaz, J., "Polycaprolactone/Chitosan Blend Nanofibers Loaded by 5-Fluorouracil: An Approach to

- Anticancer Drug Delivery System”, *Polymers for Advanced Technologies*, Vol. 29, pp. 2972-2981, 2018.
25. Qian, Y., Zhang, Z., Zheng, L., Song, R., and Zhao, Y., “Fabrication and Characterization of Electrospun Polycaprolactone Blended with Chitosan-Gelatin Complex Nanofibrous Mats”, *Journal of Nanomaterials*, Vol. 2014, p. 1, 2014.